

様々な海浜流計算法の予測精度について

九州大学大学院工学研究科

○学生員 申 承鎧

九州大学大学院工学研究科

学生員 高畠栄治

九州大学大学院工学研究科

正員 入江 功

宮崎大学工学部土木環境工学科 正員 村上啓介

1.はじめに

構造物設置後の海浜変形を正しく予測するには、構造物周辺の波浪変形及び流れを正しく計算する必要性がある。本研究では、平面水槽実験により波高及び流れの平面分布を詳細に測定した。これと様々な線形および非線形の波・流れ計算モデルによる計算結果を比較することにより、それぞれのモデルの予測精度を評価した。

2. 実験方法

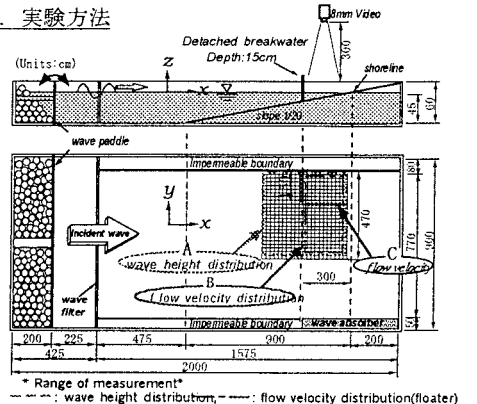


図 1 実験水槽の概要

(a) 波高分布の測定

波高分布の測定は図 1 に示したように離岸堤を中心前に後 2m および離岸堤が付けられた不透過境界から 4.6m の範囲まであり、水深は 4.5cm から 24.5cm までの範囲である(区域 A)。この範囲を 20cm の間隔で、総数 441 点での波高を測定した。

(b) フロートによる定常流速の測定

現在、海浜流の計算に使われているほとんどのモデルは平均流として水深積分された量を取り扱っている。このような平均流を水理模型実験で検証しようとすれば波動場で底面から水面までの流速を詳細に測定し、時間及び水深で積分するとよいわけであるが、実際には、時間的な問題は別にしても、底面や水面付近での流速の測定方法などに様々な難点が残されている。そこで、本実験ではフロート及び

電磁流速計を用いて、定常流の測定を試みた。

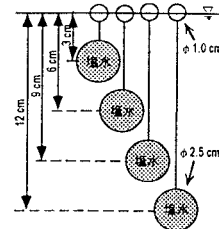


図 2 フロートの概略図

フロートは図 2 に示したように比重 1.006 の塩水をいれ、定めた水深に留まるようにした。流速測定点は波高分布の測定と同様の 20cm 間隔の格子上であるが、離岸堤背後の水深 14.5cm から岸側の水深 3.5cm まで(総 252 点)を測定範囲(区域 B)とし、水深別に測定層の数を増減した。表 1 に各水深別の測定層数を示す。

表 1 水深別の測定層

水深(cm)	層数	フロート長さ(d)	測定点
14.5, 13.5, 12.5	4	3, 6, 9, 12cm	63 点
11.5, 10.5, 9.5	3	3, 6, 9cm	63 点
8.5, 7.5, 6.5	2	3, 6cm	63 点
5.5, 4.5, 3.5	1	3cm	63 点

(c) 電磁流速計による定常流の測定

電磁流速計による測定は離岸堤の先端から 40cm 離れて、水深 13.5cm から 4.5cm まで 10 点を測った(区域 C)。

3. 数値計算

線形、非線形の波・流れ計算モデルの波高や流れに対する予測精度を評価するため、線形モデルとしては放物型緩勾配モデルを基にした海浜流モデルを、非線形モデルとしては Madson ら(1992)が提案した修正 Boussinesq 方程式に碎波減衰、摩擦項等を加えたモデルを用いた。

(a) 海浜流モデル

海浜流モデルの連続式及び運動方程式は次のようである。

$$\eta_t + U\{U(h+\eta)\}_x + V\{V(h+\eta)\}_y = 0 \quad (3.1)$$

$$U_t + UU_x + VU_y + g(\bar{\eta})_x + R_1 + M_1 + F_1 = 0 \quad (3.2)$$

$$V_t + UV_x + VV_y + g(\bar{\eta})_y + R_2 + M_2 + F_2 = 0 \quad (3.3)$$

ここで、 U 、 V は平均流速の x 、 y の成分、 R はradiation stress項、 M 、 F は碎波による運動量混合項及び底面摩擦項である。

(b) Boussinesq モデル

Boussinesq モデルの連続式と運動方程式は次のようにある。

$$\eta_t + p_x + q_y = 0 \quad (3.4)$$

$$p_t + \left(\frac{p^2}{D} \right)_x + \left(\frac{pq}{D} \right)_y + gD\eta_x - M_1 + F_1 + \varepsilon p = \psi_1 \quad (3.5)$$

$$q_t + \left(\frac{q^2}{D} \right)_y + \left(\frac{pq}{D} \right)_x + gD\eta_y - M_2 + F_2 + \varepsilon p = \psi_2 \quad (3.6)$$

$$\begin{aligned} \psi_1 = & \left(B + \frac{1}{3} \right) h^2 (p_{xx} + q_{xy}) + Bgh^3 (\eta_{xxx} + \eta_{xyy}) \\ & + hh_x \left(\frac{1}{3} p_{xt} + \frac{1}{6} q_{yt} + 2Bgh\eta_{xx} + Bgh\eta_{yy} \right) \quad (3.7) \\ & + hh_y \left(\frac{1}{6} q_{xt} + Bgh\eta_{xy} \right) \end{aligned}$$

$$\begin{aligned} \psi_2 = & \left(B + \frac{1}{3} \right) h^2 (q_{yy} + p_{yy}) + Bgh^3 (\eta_{yyy} + \eta_{xxy}) \\ & + hh_y \left(\frac{1}{3} q_{yt} + \frac{1}{6} p_{yt} + 2Bgh\eta_{yy} + Bgh\eta_{xx} \right) \quad (3.8) \\ & + hh_x \left(\frac{1}{6} p_{yt} + Bgh\eta_{xy} \right) \end{aligned}$$

ここで、 p 、 q は x 、 y 方向の線流量、 $D = \eta + h$ である。 ψ は分散項を表しており、 ε は波エネルギー吸収係数、 B は補正係数である。

4. 実験結果と数値計算との比較分析

(a) 波高分布

図3は実験結果(a)と非線形モデルの計算結果(b)を比較したもので、離岸堤近傍の平面的な波高分布との定性的な比較は良好であるが、碎波後の波高減少量は実験値より小さくなっている。モデルの中の渦動粘性による波エネルギー減衰係数の検討が必要と考えられる。

(b) 定常流分布

図4には実験で求めた離岸堤背後の定常流速(a)

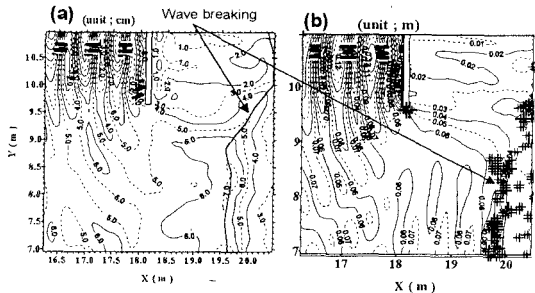


図3 平面波高分布の比較(a:実験、b:計算)

と計算値(b)との比較を示したもので、離岸堤背後の典型的な循環流は形成されているが、図4の実験結果との比較によると、循環流の中心は実験での場所と離れていることが分かる。また、実験の場合、離岸堤背後の岸側の流速は0.3m/secに達している反面、計算では0.1m/secの流速を示しており、全

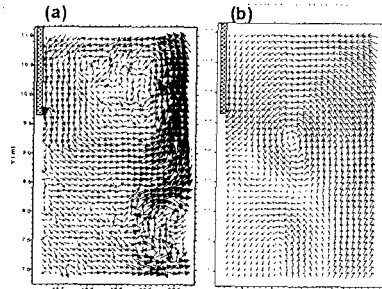


図4 定常流速分布の比較(a:実験、b:計算)

体的に流れは弱めになっている。

5. おわりに

本研究では、平面水槽実験により波高及び流れの平面分布を詳細に測定し、これと様々な線形および非線形の波・流れ計算モデルによる計算結果を比較することにより、それぞれのモデルの予測精度を評価した。線形モデルの定常流計算結果及び各々モデルと実験結果との定量的な分析結果は講演時に発表する。

参考文献

- Madsen,P.A. and O.R. Sørensen(1992);A new form of the Boussinesq equations with improved linear dispersion characteristics Part 2., Coastal Eng., Vol.18, pp183-204